

УДК 532.546

БАРОТЕРМИЧЕСКИЙ ЭФФЕКТ ПРИ ФИЛЬТРАЦИИ АНОМАЛЬНОЙ НЕФТИ И ВОДЫ

Р. Ф. Шарафутдинов

Башкирский государственный университет, 450000 Уфа

На основе численного исследования температурного поля баротермического эффекта при фильтрации аномальной нефти и воды установлены закономерности формирования температуры на выходе из пласта. Показано, что аномальные свойства нефти приводят к усилению вклада адиабатического охлаждения в начальные моменты времени после пуска скважины в работу. При совместном движении аномальной нефти и воды наблюдается немонотонная зависимость температуры флюида от насыщенности пласта водой.

Как известно, исследование температурных полей, обусловленных проявлением баротермического эффекта, имеет важное практическое значение. В настоящее время в основном изучены температурные поля, связанные с эффектом Джоуля — Томсона и адиабатическим эффектом при фильтрации ньютоновской жидкости [1–3].

Баротермический эффект при фильтрации аномальной жидкости изучен недостаточно. В работе [4] рассматривается приближенное аналитическое решение задачи о температурном поле баротермического эффекта при фильтрации вязкопластичной нефти.

В данной работе численно исследуется температурное поле, обусловленное эффектом Джоуля — Томсона и адиабатическим эффектом при фильтрации аномальной нефти и воды. Математическая модель неизотермической фильтрации аномальной нефти и воды не учитывает диффузионный перенос массы и теплоты, взаимное растворение нефти и воды, теплообмен с окружающей средой, гравитационные и капиллярные силы.

1. В основе математической модели лежат уравнения сохранения масс фаз, уравнение движения и притока тепла.

С учетом сделанных замечаний в плоскорадиальном случае уравнение сохранения масс фаз имеет следующий вид:

$$\frac{\partial t \rho_i S_i}{\partial t} + \frac{1}{r} \frac{\partial r t \rho_i S_i V_i}{\partial r} = 0, \quad i = 1, 2. \quad (1)$$

Индексы i соответствуют различным фазам, а именно: 0 — порода, 1 — вода, 2 — нефть; S_i и V_i — насыщенность и скорость движения i -й фазы; ρ_i — плотность i -й фазы; t — пористость.

Уравнение движения для воды запишем в форме закона фильтрации Дарси

$$m S_1 V_1 = - \frac{K k_1}{\mu_1} \frac{\partial P}{\partial r}. \quad (2)$$

Для нефтяной фазы примем закон фильтрации вязкопластичной жидкости [5]

$$m S_i V_i = - \frac{K k_i}{\mu_i} \left(\frac{\partial P}{\partial r} - G \right) \quad \text{при} \quad \frac{\partial P}{\partial r} > G, \quad m S_i V_i = 0 \quad \text{при} \quad \frac{\partial P}{\partial r} < G. \quad (3)$$

Здесь K — абсолютная проницаемость; k_i — фазовая проницаемость; μ_i — вязкость i -й фазы; P — давление; G — величина начального градиента давления сдвига.

Уравнение притока тепла в приближении однотемпературной модели с учетом эффекта Джоуля — Томсона, адиабатического эффекта и конвективного теплопереноса в пренебрежении теплопроводностью имеет вид [1, 6]

$$\frac{\partial}{\partial t} \left[(1-m) \rho_0 C_0 T + \sum_{i=1}^2 m \rho_i C_i S_i T \right] + \frac{1}{r} \frac{\partial}{\partial r} r \left[m \sum_{i=1}^2 \rho_i C_i S_i V_i T \right] + \\ + m \sum_{i=1}^2 \rho_i C_i S_i V_i \varepsilon_i \frac{\partial P}{\partial r} - m \sum_{i=1}^2 \rho_i C_i S_i \eta_i \frac{\partial P}{\partial t} = 0. \quad (4)$$

Здесь введены следующие термодинамические параметры: T — температура; C_i — теплопроводность; ε_i — коэффициент Джоуля — Томсона; η_i — адиабатический коэффициент i -й фазы.

Первое слагаемое уравнения (4) выражает изменение теплосодержания системы, второе — конвективный теплоперенос, третье и четвертое — вклад эффекта Джоуля — Томсона и адиабатического эффекта соответственно.

Начальные и граничные условия имеют следующий вид:

$$\begin{aligned} t = 0, \quad r > 0: \quad S_i = S_{i0}, \quad P = P_0, \quad T = T_0, \\ t > 0, \quad r = R_0: \quad P = P_K(t), \quad P_K^0 \leq P_K(t) \leq P_0, \\ t > 0, \quad r = R: \quad P = P_0, \quad S_i = S_i^0, \quad T = T_0. \end{aligned} \quad (5)$$

Фазовые проницаемости задавались в форме, приведенной в работе [7]. Плотности нефти и воды являются функциями давления и температуры.

Система уравнений (1)–(4) с начальными и граничными условиями (5) решалась численно на основе консервативной конечно-разностной схемы сквозного счета. Насыщенности фаз и температура вычислялись по явной схеме, давление — по неявной. Тестирование проводилось по известным аналитическим решениям теплового поля эффекта Джоуля — Томсона для фильтрации ньютоновской нефти [1].

2. Расчеты проведены для следующих модельных значений термогидродинамических параметров фаз, приближенных к реальным пластовым значениям [1, 8]:

$$C_0 = 800 \text{ Дж/(кг} \cdot \text{К}), \quad C_1 = 4000 \text{ Дж/(кг} \cdot \text{К}), \quad C_2 = 2000 \text{ Дж/(кг} \cdot \text{К}),$$

$$\varepsilon_1 = 0,2 \text{ К/МПа}, \quad \varepsilon_2 = 0,4 \text{ К/МПа}, \quad \eta_1 = 0,015 \text{ К/МПа}, \quad \eta_2 = 0,13 \text{ К/МПа}.$$

Начальное пластовое давление P_0 и минимальное давление P_K^0 на границе пласта ($r = R_0$) равны 20,0 и 14,0 МПа соответственно.

Расчеты проведены для следующих начальных градиентов давления сдвига [9]: $G = 0; 0,02; 0,05 \text{ МПа/м}$. Вязкости воды и нефти приняты равными соответственно $\mu_1 = 0,1 \text{ мПа} \cdot \text{с}$, $\mu_2 = 0,4 \text{ мПа} \cdot \text{с}$. Начальная водонасыщенность изменялась в следующих пределах: $S_0 = 0; 0,25; 0,5; 0,7$.

3. На рис. 1 приведены результаты расчета температурного поля при фильтрации аномальной нефти с различными начальными градиентами давления сдвига: 1 — $G = 0$; 2 — $G = 0,2 \text{ МПа/м}$; 3 — $G = 0,5 \text{ МПа/м}$. При $G = 0$ зависимость температуры от времени аналогична решению задачи о температурном поле баротермического эффекта при фильтрации ньютоновской нефти [1]. Рис. 1 позволяет провести сравнение экспериментальной зависимости температуры, полученной при исследовании скважины 6558 (Башкирия) (кривая 5), с расчетной (кривая 4) для $K/\mu_2 = 0,35$.

На графике зависимости температуры от времени видны характерные участки, связанные с проявлением адиабатического эффекта и эффекта Джоуля — Томсона. Вначале,

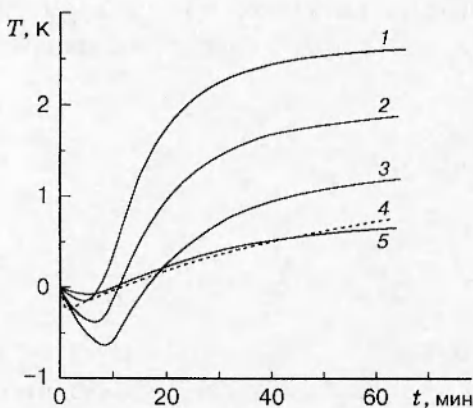


Рис. 1. Зависимость температуры от времени при различных начальных градиентах давления сдвига:

1 — $G = 0$; 2 — $G = 0,2 \text{ МПа/м}$; 3 — $G = 0,5 \text{ МПа/м}$; 4 — $G = 0, K/\mu_2 = 0,35$; 5 — результаты исследований скважины 6558 (Башкирия)

после пуска скважины в работу (снижение давления на выходе из пласта), наблюдается адиабатическое охлаждение нефти. В дальнейшем за счет преобладания дроссельного разогрева над адиабатическим охлаждением отмечается повышение температуры и установление положительной стационарной температуры. При фильтрации аномальной нефти формирование температурного поля на выходе из пласта аналогично случаю фильтрации ньютоновской нефти. Однако с увеличением начального градиента давления вклад охлаждения за счет адиабатического эффекта возрастает (кривые 2 и 3 на рис. 1) и наблюдается смещение минимума температуры в область больших времен. При этом величина стационарной положительной аномалии уменьшается.

На рис. 2 изображены зависимости температуры от времени на выходе из пласта при различной насыщенности пласта водой (обводненности) для начального градиента давления $G = 0,2 \text{ МПа/м}$. Наблюдаются немонотонная зависимость температуры на выходе из

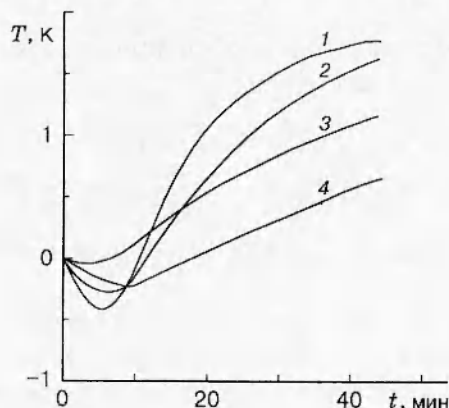


Рис. 2

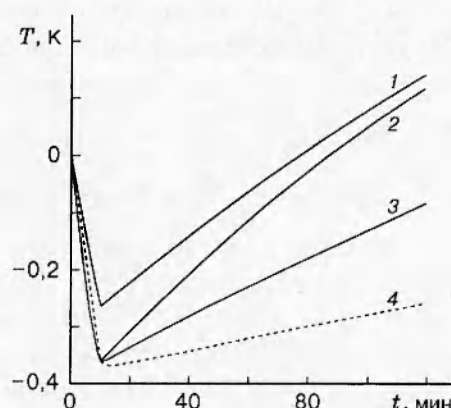


Рис. 3

Рис. 2. Зависимость температуры от времени при различной начальной водонасыщенности ($G = 0,2 \text{ МПа/м}$):

1 — $S = 0$; 2 — $S = 0,25$; 3 — $S = 0,7$; 4 — $S = 0,5$

Рис. 3. Зависимость температуры от времени при различной вязкости нефти ($G = 0,02 \text{ МПа/с}$):

1 — $\mu_2 = 4 \text{ мПа} \cdot \text{с}$ (без учета начального градиента сдвига); 2 — $\mu_2 = 2 \text{ мПа} \cdot \text{с}$; 3 — $\mu_2 = 4 \text{ мПа} \cdot \text{с}$; 4 — $\mu_2 = 10 \text{ мПа} \cdot \text{с}$

пласта от насыщенности пласта водой. С увеличением насыщенности пласта водой (кривые 1, 2 и 4 на рис. 2) величина адиабатического охлаждения и дроссельного разогрева уменьшается, а минимум температуры смешается в область больших времен. При дальнейшем увеличении насыщенности пласта водой, в частности при $S = 0,7$ (кривая 3 на рис. 2), зафиксировано увеличение дроссельного разогрева флюида на выходе из пласта.

На рис. 3 представлены особенности температурного поля при фильтрации аномальной нефти с разными значениями вязкости нефти. Видно, что увеличение вязкости нефти (уменьшение подвижности) приводит к увеличению продолжительности влияния адиабатического охлаждения по сравнению с дроссельным разогревом нефти.

Таким образом, влияние аномальных свойств жидкостей на температурное поле, обусловленное баротермическим эффектом, сводится, с одной стороны, к усилению вклада адиабатического охлаждения до развития фазы движения аномальной жидкости в начальные моменты времени после пуска скважины в работу, с другой — к уменьшению дроссельного разогрева аномальной нефти. При совместном движении аномальной нефти и воды наблюдается немонотонная зависимость температурного поля от насыщенности пласта водой, которая заключается в первоначальном уменьшении положительной температурной аномалии при увеличении насыщенности пласта водой и возрастании ее при дальнейшем увеличении обводненности пласта. Полученные результаты могут быть использованы при интерпретации данных термических исследований на месторождениях с аномальными свойствами нефти.

ЛИТЕРАТУРА

1. Чекалюк Э. Б. Термодинамика нефтяного пласта. М.: Недра, 1965.
2. Валиуллин Р. А., Рамазанов А. Ш. Термические исследования при компрессорном освоении скважин. Уфа: Изд-во Башкир. ун-та, 1992.
3. Валиуллин Р. А., Рамазанов А. Ш., Шарафутдинов Р. Ф. Баротермический эффект при трехфазной фильтрации с фазовыми переходами // Изв. РАН. Механика жидкости и газа. 1994. № 6. С. 113–117.
4. Филиппов А. И., Хусаинова Г. Я. Баротермический эффект в аномальных жидкостях // Прикладная физика и геофизика: Сб. науч. тр. Уфа: Изд-во Башкир. ун-та, 1995. С. 131–135.
5. Мирзаджанзаде А. Х., Ковалев А. Г., Зайцев Ю. В. Особенности эксплуатации месторождений аномальных нефтей. М.: Недра, 1972.
6. Федоров К. М., Шарафутдинов Р. Ф. К теории неизотермической фильтрации с фазовыми переходами // Изв. АН СССР. Механика жидкости и газа. 1989. № 5. С. 78–85.
7. Басниев К. С., Kochina И. Н., Максимов В. М. Подземная гидромеханика. М.: Недра, 1993.
8. Гиматудинов Ш. К., Ширковский А. И. Физика нефтяного и газового пласта. М.: Недра, 1982.
9. Девликамов В. В., Хабибуллин З. А. Аномальные нефти. М.: Недра, 1975.

*Поступила в редакцию 14/X 1997 г.,
в окончательном варианте — 17/VI 1998 г.*